

บทความวิจัย

ผลกระทบของการกระจายตัวของทิศแกนง่ายต่อปรากฏการณ์ใบอัลแลกเปลี่ยนในโครงสร้างหัวอ่านผ่านรูปแบบจำลองแกรนูลาร์

瓦สนา แดงอ้อ พรรณวดี จริมماศ และ เจษฎา จริมมาศ*

ได้รับบทความ: 24 พฤษภาคม 2561

ได้รับบทความแก้ไข: 3 สิงหาคม 2561

ยอมรับตีพิมพ์: 3 สิงหาคม 2561

บทคัดย่อ

แบบจำลองแกรนูลาร์ในระดับจุลภาคซึ่งมีพื้นฐานจากการพัฒนาและการเคลื่อนที่ของแленดอร์-ลิฟเชิท์-กิลเบิร์ตถูกเสนอขึ้นเพื่อใช้สำหรับการศึกษาสมบัติแม่เหล็กพื้นฐาน เนื่องจากปรากฏการณ์ใบอัลแลกเปลี่ยนในระบบโครงสร้างวัสดุสองชั้นที่ประกอบด้วยวัสดุแม่เหล็กเฟอร์โรแมกเนติกและวัสดุแม่เหล็กแอนติเฟอร์โรแมกเนติก ซึ่งเป็นองค์ประกอบที่สำคัญของโครงสร้างหัวอ่านข้อมูลอาร์ดิสก์ไดร์ฟ แบบจำลองที่ถูกสร้างขึ้นนี้สามารถจำลองลักษณะโครงสร้างวัสดุที่มีความสมைอ่อนจริงได้ โดยการรวมผลของการกระจายตัวของขนาดของเกรนภายในระบบรวมทั้งผลการกระจายตัวของทิศแกนง่ายภายในชั้นวัสดุแม่เหล็ก แอนติเฟอร์โรแมกเนติกได้ นอกจากนี้ ยังสามารถรวมผลของการเกิดอันตรายระหว่างเกรนและอันตรายระหว่างชั้นวัสดุส่งผลกระทบอย่างมากต่อคุณสมบัติทางแม่เหล็กของโครงสร้างวัสดุแม่เหล็กสองชั้น โดยผลการคำนวณให้ผลที่สอดคล้องกับผลการทดลองได้เป็นอย่างดี นอกจากนี้ ยังพบว่าผลการกระจายตัวของทิศแกนง่ายส่งผลต่อการลดลงของสนามใบอัลแลกเปลี่ยนมากถึง 60% เมื่อมุ่งของการกระจายตัวมีค่าเท่ากับ 30 องศา สาเหตุเนื่องมาการกระจายตัวของทิศแกนง่ายของแมgnไฟเซ็นในชั้นแม่เหล็กแอนติเฟอร์โรแมกเนติกส่งผลให้เกิดการลดลงของผลกระทบสุทธิของปริมาณแมgnไฟเซ็นในชั้นแอนติเฟอร์โรแมกเนติก จึงทำให้สามารถสรุปได้ว่าผลการกระจายตัวของทิศแกนง่ายเป็นอีกหนึ่งปัจจัยที่ส่งผลอย่างมากต่อการเกิดปรากฏการณ์ใบอัลแลกเปลี่ยนในหัวอ่านข้อมูลของอาร์ดิสก์ไดร์ฟ

คำสำคัญ: สมการแленดอร์-ลิฟเชิท์-กิลเบิร์ต การกระจายตัวของทิศแกนง่าย สนามใบอัลแลกเปลี่ยน

หน่วยวิจัยการคำนวณและการทดลองด้านแม่เหล็ก ภาควิชาฟิสิกส์ คณะวิทยาศาสตร์ มหาวิทยาลัยมหาสารคาม

*ผู้นิพนธ์ประสานงาน, e-mail: jessada.c@msu.ac.th

Effect of Easy Axis Distribution on Exchange Bias Phenomenon in Read Element via the Granular Model

Wassana Daeng-am, Phanwadee Chureemart, and Jessada Chureemart*

Received: 24 May 2018

Revised: 3 August 2018

Accepted: 3 August 2018

ABSTRACT

The granular model at micromagnetic level based on Landau-Liftshitz-Gilbert (LLG) equation is proposed to investigate the fundamentally magnetic properties in exchange-biased bilayer system comprised of ferromagnetic (FM) and antiferromagnetic (AF) layers which are the main components of hard disk drive. The proposed model can be used to generate the realistic microstructure, including the distribution of grain size as well as the easy axis misorientation in AF layer. Moreover, the intragranular and interlayer exchange interactions are also included into the model for realistic calculation. The results showed that the vital factors such as the calculation time for hysteresis calculation, the magnetic grain size, and the exchange interlayer field significantly affected the exchange bias field, and all calculations gave good agreement with the other experimental works on exchange bias as well. In addition, we found that the effect of easy axis misorientation gave rise to the reduction of exchange bias field over 60 percentages at the dispersion angle of 30 degrees. This is due to the fact that the dispersion of easy axis in AF layer causes the decrease of net AF magnetization used to pin the direction of FM layer. In conclusion, the easy axis misorientation in AF layer is the one of crucial factors affecting on the exchange bias phenomenon of read element in hard disk drive.

Keywords: Landau › Liftshitz › Gilbert equation, easy axis misorientation, exchange bias field

Computational and experimental magnetism group, Department of Physics, Faculty of Science, Mahasarakham University

*Corresponding author, email: jessada.c@msu.ac.th

บทนำ

เทคโนโลยีการบันทึกข้อมูล (data storage technologies) เข้ามามีบทบาทสำคัญในชีวิตประจำวันของมนุษย์เป็นอย่างมากโดยเฉพาะอย่างยิ่งอุปกรณ์ฮาร์ดดิสก์ไดร์ฟ (hard disk drive) ซึ่งถูกนำมาเป็นอุปกรณ์ที่ทำหน้าที่เก็บข้อมูลสำหรับคอมพิวเตอร์ ส่งผลให้อุปกรณ์ชนิดนี้ได้รับการออกแบบและพัฒนามาอย่างต่อเนื่องนับตั้งแต่มีการนำมาประยุกต์ใช้งาน เทคโนโลยีฮาร์ดดิสก์ไดร์ฟถูกศึกษาและพัฒนาเพื่อเพิ่มความสามารถในการบันทึกข้อมูลของงานแม่เหล็กหรือแผ่นบันทึกข้อมูล (magnetic recording media) โดยการเพิ่มพื้นที่ความจุข้อมูล (areal density) ให้มีค่ามากกว่า 1 เ特ะบิตต่อตารางนิ้ว ($T\text{bits/in}^2$) [1-2] ตามความต้องการใช้งานที่เพิ่มสูงขึ้นภายใต้เงื่อนไขที่ต้องการลดขนาดของเกรนวัสดุแม่เหล็กในแผ่นบันทึกข้อมูลและเพิ่มค่าความเสถียรทางความร้อน รวมไปถึงการพัฒนาองค์ประกอบอื่น เช่น หัวเขียน และหัวอ่านข้อมูลให้มีประสิทธิภาพการทำงานที่สูงขึ้นในเวลาเดียวกัน ดังนั้นการออกแบบลักษณะโครงสร้าง แผ่นบันทึกข้อมูลรูปแบบใหม่โดยการลดขนาดของเกรนแม่เหล็กซึ่งในปัจจุบันได้มีการลดขนาดของเกรนได้น้อยกว่า 7 นาโนเมตร (nm) [3-4] และการพัฒนาโครงสร้างหัวอ่านข้อมูล (read sensor) หรือโครงสร้างสปินวาล์ว (spin-valve geometry) ที่ประกอบด้วยวัสดุแม่เหล็กเฟอร์โรแมกнетิกสองชั้นแม่ของอุปกรณ์เป็นชั้นพิน (pinned layer, PL) และชั้นอิสระ (free layer, FL) ตามลำดับ โดยชั้นทั้งสองจะถูกคั่นกลางด้วยวัสดุที่ไม่มีคุณสมบัติแม่เหล็ก (non-magnet material) หรือเรียกว่าชั้นว่าง (spacer layer, SL) เพื่อให้สามารถตรวจวัดค่าต้านทานไฟฟ้า (electrical resistance) ได้ โดยอาศัยปรากฏการณ์ค่าต้านทานเชิงแม่เหล็กขนาดใหญ่ (giant magneto-resistance) และปรากฏการณ์ค่าต้านทานเชิงแม่เหล็กจากการทะลุผ่าน (tunneling magneto-resistance) จึงเป็นปัจจัยที่สำคัญที่จำเป็นต้องพิจารณาเพื่อให้สามารถตอบโจทย์การพัฒนาเทคโนโลยีฮาร์ดดิสก์ไดร์ฟตามเงื่อนไขข้างต้นได้

โดยทั่วไปแล้วพบว่า ขนาดของหัวอ่านข้อมูลจะต้องมีขนาดที่เล็กกว่าขนาดความกว้างของแทร็ค แม่เหล็ก (magnetic track width) ซึ่งขึ้นอยู่กับขนาดของเกรนภายในแผ่นบันทึกข้อมูล ดังนั้น การลดขนาดของเกรนเพื่อเพิ่มค่าความจุจึงส่งผลให้มีการพัฒนาหัวอ่านข้อมูลที่มีขนาดเล็กลงด้วย โดยในปัจจุบัน การลดขนาดความกว้างของหัวอ่านข้อมูล (reader width) จำเป็นต้องมีค่าน้อยกว่า 30 nm [2, 5] เพื่อให้สามารถอ่านข้อมูลที่ถูกบันทึกบนงานแม่เหล็กและคำนวณค่าอัตราส่วนสัญญาณต่อสัญญาณรบกวน (signal-to-noise ratio, SNR) ได้อย่างแม่นยำ อย่างไรก็ตาม การลดขนาดของหัวอ่านข้อมูลฮาร์ดดิสก์ ไดร์ฟนำไปสู่ปัญหาในภาคอุตสาหกรรมอีกหนึ่งปัจจัยที่สำคัญคือ ความเสถียรภาพทางความร้อน (thermal stability) ของหัวอ่านข้อมูล การลดขนาดของอุปกรณ์มีผลทำให้หัวอ่านข้อมูลขาดเสถียรภาพทางความร้อน โดยเฉพาะอย่างยิ่งชั้นพิน (PL) ซึ่งจะทำหน้าที่เป็นชั้นอ้างอิงข้อมูลในหัวอ่าน สาเหตุเนื่องมาจากการลดขนาดของหัวอ่านที่ลดลงในระดับนาโนเมตรจะส่งผลโดยตรงต่อ พลังงานอุปสรรค (energy barrier, ΔE) ซึ่งเป็นพลังงานที่ใช้ในการรักษาทิศทางของแมgnนิไฟเซชันในชั้นพินซึ่งมีค่า $\Delta E = K_u V$ โดยแปรผันตามค่าความเป็นแม่เหล็กหรือค่าคงที่แอนไอโซโทปี (anisotropy constant) และปริมาตรของเกรนในวัสดุ แม่เหล็ก โดยการยึดทิศทางของแมgnนิไฟเซชันในชั้นแม่เหล็กเฟอร์โรแมกнетิกจะอาศัยขบวนการที่เรียกว่า ปรากฏการณ์ไอบัสแลกเปลี่ยน (exchange bias phenomenon) [6-8] ซึ่งเกิดจากอันตรกิริยาและเปลี่ยนระหว่างชั้นแม่เหล็กเฟอร์โรแมกเนติกเชื่อมติดกับชั้นแม่เหล็กแอนติเฟอร์โรแมกเนติกโดยตรง ดังนั้น การลดขนาดของหัวอ่านจะส่งผลโดยตรงต่อการลดพลังงานกีดกันในชั้นวัสดุแม่เหล็กแอนติเฟอร์โรแมก-

เนติกที่ทำหน้าที่ยึดทิศทางแมgnไฟเซนในชั้นพินเข่นเดียวกัน การพิจารณาความสามารถในการหันต่อความร้อนของวัสดุแม่เหล็กจะถูกอธิบายด้วยค่าสัดส่วนระหว่างพลังงานภายในวัสดุต่อค่าพลังงานความร้อนที่กระทำต่อระบบโครงสร้างวัสดุแม่เหล็กตามกฎของอาร์เรนเนียส–นีลส์ (Arrhenius–Neel's law) [9] แสดงดังสมการที่ (1)

$$\tau^{-1} = f_0 e^{-\Delta E/k_B T} \quad (1)$$

เมื่อ τ คือระยะเวลาในการคลายตัวของแมgnไฟเซน (relaxation time) f_0 คือความถี่ในการสั่นของแมgnไฟเซนภายในระบบ (attempt frequency) ซึ่งมีค่าเท่ากับ 10^{-9} ต่อวินาที และพลังงานความร้อนเฉลี่ยสามารถพิจารณาได้จากการผลคูณระหว่างค่าคงที่บอลท์ซัมมัน (Boltzmann's constant, k_B) และค่าอุณหภูมิของระบบ (ambient temperature, T)

จากปัญหาด้านความเสถียรทางความร้อนนำไปสู่การศึกษาผลกระทบเนื่องจากการขาดเสถียรภาพทางความร้อนต่อปราศจากการณ์ใบอัลแลกเปลี่ยนทั้งในส่วนของการทดลอง [10-12] และแบบจำลองทางทฤษฎีอย่างต่อเนื่อง [13-16] และได้มีการนำเสนอแบบจำลองทางทฤษฎีอย่างต่อเนื่องเพื่อใช้ในการอธิบายและทำนายผลทางการทดลองเพื่อนำไปเป็นต้นแบบในการผลิตโครงสร้างสปินバル์วเนื่องจากการลดของขนาดหัวอ่อนข้อมูล อาทิเช่น รูปแบบจำลองอย่างง่ายที่ถูกเสนอโดย กอนชาโล เฟอร์นานเดซและคณะ [17] ซึ่งในงานวิจัยนี้ได้อธิบายถึงผลของโครงสร้างวัสดุแม่เหล็กแอนติเฟอร์โรแมกнетิกและการกระจายตัวของขนาดของเกรน (grain size distribution) ต่ออัตราการเกิดปราศจากการณ์ใบอัลแลกเปลี่ยน แม้ว่าแบบจำลองดังกล่าวสามารถนำมาใช้ในการอธิบายการศึกษาปราศจากการณ์ ใบอัลแลกเปลี่ยนได้ในหลากหลายการทดลอง แต่พบว่าแบบจำลองนี้ยังคงมีข้อจำกัดเนื่องจากถูกสร้างขึ้นภายใต้สมมติฐานที่กำหนดให้แมgnไฟเซนบริเวณรอยต่อภายในชั้นวัสดุแม่เหล็กแอนติเฟอร์โรแมกเนติกมีทิศทางแกนง่ายซึ่งจัดเรียงตัวไปในทิศเดียวกัน ทั้งหมดอย่างสม่ำเสมอและเป็นระเบียบ มีลักษณะเป็นโดเมนแม่เหล็กเดียว (single domain) และได้ละเอียดการพิจารณาผลของสนามแม่เหล็กหักล้าง (demagnetizing field) ที่เกิดขึ้นระหว่างเกรนแต่ละเกรนภายในระบบ ซึ่งในความเป็นจริงแล้วลักษณะผิวรอยต่อระหว่างวัสดุทั้งสองชั้นจะมีพื้นผิวแบบขรุขระ (roughed interface) เนื่องจากความไม่สมบูรณ์ของปล็อกฟิล์ม (crystalline film growth) รวมถึงลักษณะการจัดเรียงตัวของแมgnไฟเซนในชั้นวัสดุแม่เหล็กแอนติเฟอร์โรแมกเนติกแต่ละตัวจะมีทิศการกระจายตามทิศทางแกนง่าย (easy axis distribution) [15-16] กล่าวคือจะไม่เกิดการจัดเรียงตัวแบบสมบูรณ์ของแมgnไฟเซนซึ่งมีทิศขนานกับชั้นฟิล์ม จากความไม่สมบูรณ์แบบของแบบจำลองอย่างง่ายข้างต้นนำไปสู่ตุประสงค์ของงานวิจัยนี้ที่ต้องการนำเสนอแบบจำลองแบบกรนูลาร์สมีอ่อนจริง (realistic granular model) โดยการพิจารณาผลของการกระจายตัวของทิศแกนง่ายซึ่งเกิดขึ้นเนื่องจากความไม่ร่วนเรียบบริเวณรอยต่อระหว่างชั้นวัสดุ แบบจำลองที่ถูกนับเส้นอินี้คิดว่าจะสามารถอธิบายและทำนายปราศจากการณ์ใบอัลแลกเปลี่ยนที่มีค่าใกล้เคียงกับการทดลองยิ่งขึ้น รวมถึงการศึกษาปัจจัยต่างๆ ที่ส่งผลต่อความเสถียรภาพทางความร้อนในหัวอ่อนข้อมูลฮาร์ดดิสก์ไดร์ฟ

อุปกรณ์และวิธีทดลอง

งานวิจัยนี้ทำการนำเสนอบนแบบจำลองแบบแกรนูลาร์สมือนจริงเพื่อใช้สำหรับศึกษาปรากฏการณ์ในอัลตราเพลี่ยนภายในโครงสร้างวัสดุแม่เหล็กสองชั้นที่ประกอบไปด้วยวัสดุแม่เหล็กเฟอร์โรแมกнетิกและวัสดุแม่เหล็กแอนติเฟอร์โรแมกเนติกที่เชื่อมติดกัน รวมถึงปัจจัยที่มีอิทธิพลต่อกระบวนการเปลี่ยนแปลงทิศทางของแมgnานิไทเซซันและคุณสมบัติแม่เหล็กพื้นฐานที่มีผลต่อการเพิ่มประสิทธิภาพของหัวอ่านข้อมูลภายในฮาร์ดดิสก์ไดร์ฟ โดยในหัวข้อนี้จะอธิบายถึงรายละเอียดวิธีการคำนวณพลวัตของแมgnานิไทเซซันเริ่มจากการศึกษารากฐานของการเปลี่ยนแปลงทิศทางของแมgnานิไทเซซันตามเวลาเมื่อเข้าสู่สภาวะสมดุลโดยอาศัยสมการแลนดอร์ – ลิฟท์ชิตส์ – กิลเบิร์ต (Landau – Lifshitz – Gilbert equation of motion, LLG) ด้วยวิธีการนี้ทำให้สามารถคำนวณหาคุณปัจจุบันปิดซิสเทอรีซีส (hysteresis loop) เพื่อใช้ศึกษาคุณสมบัติพื้นฐานทางแม่เหล็กของโครงสร้างวัสดุแม่เหล็กสองชั้นได้

แบบจำลองทางแม่เหล็กแบบแกรนูลาร์

รูปแบบจำลองทางแม่เหล็กแบบแกรนูลาร์หรือแบบจำลองทางแม่เหล็กแบบจุลภาคมาตราฐาน เป็นเครื่องมือสำหรับการศึกษาคุณสมบัติพื้นฐานของวัสดุแม่เหล็กในระดับจุลภาค (microscale) โดยทั่วไปแล้วแบบจำลองดังกล่าวจะพิจารณาให้จำนวนแมgnานิไทเซซัน ซึ่งถูกใช้สำหรับการคำนวณมีขนาดเท่ากับจำนวนเกรนภายในโครงสร้างวัสดุแม่เหล็ก ซึ่งทำให้สามารถอธิบายการเปลี่ยนแปลงคุณสมบัติของวัสดุแม่เหล็กได้อย่างมีความถูกต้อง ในลำดับแรกโครงสร้างวัสดุแม่เหล็กที่ประกอบด้วยเกรนแม่เหล็กจำนวนมากจะถูกจำลองขึ้นโดยอาศัยโปรแกรมโวโรนอย (Voronoi construction) ซึ่งช่วยให้สามารถจำลองลักษณะโครงสร้างวัสดุแม่เหล็กที่มีความสมை均衡 การทำหน้าที่ของเกรนเจลี่ยและลักษณะการกระจายตัวของขนาดของเกรนให้มีค่าใกล้เคียงกับผลการทดลองได้ [18] นอกจากนี้ การจำลองโครงสร้างวัสดุแม่เหล็กโดยอาศัยโปรแกรมโวโรนอยยังสามารถคำนวณผลการเกิดอันตรรศิยาระหว่างเกรนแม่เหล็กที่อยู่ข้างเคียงกัน นำไปสู่การคำนวณค่าสนามแม่เหล็กที่เกิดขึ้นภายในโครงสร้างวัสดุแม่เหล็ก การศึกษาพลวัตของแมgnานิไทเซซันในชั้nwัสดุแม่เหล็กเฟอร์โรแมกเนติก จะเริ่มจากการพิจารณาปริมาณค่าสนามแม่เหล็กประลิทธิผล (effective field, H_{eff}) ภายในระบบ สำหรับค่าสนามแม่เหล็กประลิทธิผลที่กระทำต่อแมgnานิไทเซซันในชั้nwัสดุแม่เหล็กเฟอร์โรแมกเนติกจะประกอบไปด้วยปริมาณสนามแม่เหล็กที่เกิดขึ้นภายในโครงสร้างวัสดุแม่เหล็กทั้งหมด ได้แก่ สนามแอนไอโซทรอปี (anisotropy field, H_{anis}) สนามปฏิสัมพันธ์แลกเปลี่ยน (exchange field, H_{exch}) สนามแม่เหล็กหักล้างหรือสนามเหล็กคู่ข้า (dipolar field, H_{exch}) นอกจากนี้ยังประกอบด้วยสนามแม่เหล็กที่เกิดจากปัจจัยภายนอกได้แก่ สนามแม่เหล็กภายนอก (applied field, H_{app}) และสนามความร้อน (thermal field, H_{th}) ซึ่งค่าสนามแม่เหล็กแต่ละชนิดสามารถพิจารณาได้ดังนี้

สำหรับสนามแม่เหล็กประลิทธิผลคือ ค่าสนามแอนไอโซทรอปี เป็นค่าสนามแม่เหล็กที่มีค่าขึ้นอยู่กับทิศทางแกนง่ายของแมgnานิไทเซซัน (easy axis, \hat{e}) ซึ่งเป็นตัวกำหนดลักษณะการเปลี่ยนแปลงของคุณสมบัติภายในวัสดุแม่เหล็กโดยในแบบจำลองนี้ได้มีการพิจารณาการกระจายตัวของทิศแกนง่าย ตามรูปแบบของฟังก์ชันการกระจายตัวแบบเก้าส์เชิง (Gaussian distribution function) สำหรับค่าสนามแอนไอโซทรอปีที่ถูกพิจารณาเพื่อใช้ในรูปแบบจำลองในระดับจุลภาคแบบมาตราฐาน มีรูปแบบดังนี้

$$\mathbf{H}_{anis} = \frac{2K}{M_s} (\hat{m}_{FM} \cdot \hat{e}) \quad (2)$$

เมื่อ K คือ ค่าคงที่แอลอโซโทอร์ปของวัสดุแม่เหล็กเฟอร์โรแมกเนติก M_s คือ ค่าแมgnนิไฟเซชันอิมตัว (saturation magnetization) ของวัสดุแม่เหล็ก \hat{m}_{FM} แทนเวกเตอร์หนึ่งหน่วย (unit vector) หรือทิศทางของแมgnนิไฟเซชันในชั้นวัสดุแม่เหล็กเฟอร์โรแมกเนติก

สำหรับค่าสนามแอลอโซเลปเลียน \mathbf{H}_{exch}^i ซึ่งแสดงถึงการเกิดอันตรกิริยะระหว่างแมgnนิไฟเซชันหรือเกรนแม่เหล็กที่พิจารณา i และเกรนแม่เหล็กที่อยู่ข้างเคียงกัน (nearest neighbor grains) j จะถูกพิจารณาจากค่าพารามิเตอร์ที่แสดงถึงความแรงของการเกิดอันตรกิริยะระหว่างเกรนที่อยู่ข้างเคียงกัน (exchange field strength, f_{ij}) ซึ่งเป็นค่าพารามิเตอร์ที่คำนวณได้จากโปรแกรมจำลองโครงสร้างโวโรนอย แสดงดังสมการที่ (3)

$$\mathbf{H}_{exch}^i = \sum_{i \neq j} f_{ij} (\hat{m}_x^j + \hat{m}_y^j + \hat{m}_z^j) \quad (3)$$

เมื่อ \hat{m}_x^j \hat{m}_y^j \hat{m}_z^j แทนเวกเตอร์หนึ่งหน่วยหรือทิศทางของแมgnนิไฟเซชันของเกรนข้างเคียง j ในองค์ประกอบของ x y และ z ตามลำดับ และค่าสนามแม่เหล็กที่เกิดขึ้นภายในวัสดุประเทสุดท้ายคือค่าสนามแม่เหล็กหักล้าง \mathbf{H}_{dip} ซึ่งเป็นการพิจารณาการลดทอนปริมาณสนามแม่เหล็กภายในตัววัสดุเองสามารถพิจารณาได้ดังนี้

$$\mathbf{H}_{dip}^i = M_s \sum_{i \neq j} \left[\frac{3(\hat{m}_j \cdot \hat{r}_{ij}) \hat{r}_{ij} - \hat{m}_j}{|\hat{r}_{ij}|^3} \right] \quad (4)$$

เมื่อ \hat{m}_j คือ เวกเตอร์หนึ่งหน่วยซึ่งแสดงทิศทางของเกรนข้างเคียงและ \hat{r}_{ij} คือ เวกเตอร์หนึ่งหน่วยซึ่งแสดงถึงทิศทางระหว่างเกรนที่พิจารณา i และเกรนข้างเคียงที่อยู่ติดกัน j สำหรับปริมาณสนามแม่เหล็กภายนอก \mathbf{H}_{app} ที่ส่งผลต่อสภาพความเป็นแม่เหล็กของวัสดุแม่เหล็ก สามารถนิยามได้ดังสมการที่ (5)

$$\mathbf{H}_{app} = \hat{a}_z \cdot \mathbf{H} \quad (5)$$

เมื่อ \hat{a}_z คือ เวกเตอร์หนึ่งหน่วยที่แสดงถึงทิศทางการป้อนสนามแม่เหล็กด้วยขนาด \mathbf{H} เข้าสู่โครงสร้างวัสดุ แม่เหล็ก และสนามแม่เหล็กภายนอกชนิดสุดท้ายคือสนามความร้อนที่เกิดขึ้นเนื่องจากอุณหภูมิภายนอกที่เป็นปัจจัยที่สำคัญซึ่งส่งผลต่อกระบวนการผันกลับทิศทางของแมgnนิไฟเซชันของวัสดุแม่เหล็กเฟอร์โรแมกเนติกซึ่งสามารถคำนวณได้จาก $\mathbf{H}_{ther}^i(t) = \Gamma(t)\sigma$ [19] เมื่อ σ แทนส่วนเบี่ยงเบนมาตรฐานมีค่าเท่ากับ

$$\sqrt{\frac{2\alpha k_B T}{\gamma \mu_s \Delta t}} \quad \text{และ} \quad \Gamma(t) \quad \text{คือ} \quad \text{ฟังก์ชันการกระจายตัวแบบเกาส์เชี่ยน}$$

อย่างไรก็ตาม ปรากฏการณ์ใบอัลลแอลอโซเลปเลียนในโครงสร้างวัสดุแม่เหล็กสองชั้นจะไม่สามารถเกิดขึ้นได้ในกรณีที่ไม่ได้พิจารณาผลของการเกิดอันตรกิริยะระหว่างชั้นวัสดุแม่เหล็กเฟอร์โรแมกเนติกและชั้นวัสดุแม่เหล็กแอนติเฟอร์โรแมกเนติก ดังนั้น แบบจำลองนี้จะได้พิจารณาถึงพลังงานปฏิสัมพันธ์การแลกเปลี่ยนระหว่างชั้นวัสดุแม่เหล็กทั้งสองชนิด (interlayer exchange energy) [13] เพื่อนำมาใช้ในการจำลองปรากฏการณ์ใบอัลลแอลอโซเลปเลียนโดยที่พลังงานปฏิสัมพันธ์การแลกเปลี่ยนระหว่างชั้น แสดงดังสมการที่ (6)

$$E_{exch} = J_s ac \hat{m}_{FM} \cdot \hat{m}_{AF} \quad (6)$$

เมื่อ J_s คือ ค่าคงที่การแลกเปลี่ยนปฏิสัมพันธ์ (interfacial exchange constant) c คือ อัตราล่วงของการเชื่อมติดกันระหว่างเกรน (contact fraction) และ \hat{m}_{AF} คือ เวกเตอร์หนึ่งหน่วยที่แสดงถึงทิศทางของแมgnไฟเซชันในชั้นวัสดุแม่เหล็กแอนติเฟอร์โรแมกเนติก เมื่อสนา�แลกเปลี่ยนที่ชั้นวัสดุแม่เหล็กแอนติเฟอร์โรแมกเนติกกระทำต่อชั้นวัสดุแม่เหล็กเฟอร์โรแมกเนติกสามารถได้จากอนุพันธ์อันดับหนึ่งของพลังงานปฏิสัมพันธ์การแลกเปลี่ยนระหว่างชั้น E_{exch} เทียบกับโนเมนต์แม่เหล็กในชั้นวัสดุแม่เหล็กเฟอร์โรแมกเนติก $\hat{\mu}_{FM}^v$ ดังนั้นค่าสนา�แลกเปลี่ยนระหว่างชั้นวัสดุ \mathbf{H}_{FM-AFM} จึงมีค่าดังสมการที่ (7)

$$\mathbf{H}_{FM-AFM} = - \frac{\partial E_{exch}}{\partial \hat{\mu}_F^v} = \frac{J_s c \hat{m}_{AF}}{M_s t} = H_{int} \hat{m}_{AF} \quad (7)$$

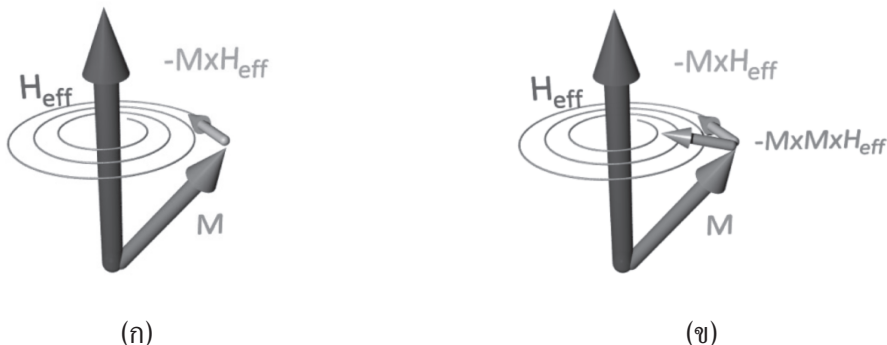
เมื่อ $H_{int} = J_s c / M_s t$ แสดงถึงขนาดความแรงสนาમแลกเปลี่ยนระหว่างชั้นวัสดุ (interlayer exchange field) ที่ชั้นวัสดุแม่เหล็กแอนติเฟอร์โรแมกเนติกกระทำต่อชั้นวัสดุแม่เหล็กเฟอร์โรแมกเนติก [14] ดังนั้น ปริมาณสนาમแม่เหล็กประสิทธิผลสำหรับการจำลองปรากฏการณ์ในอัลลอกเปลี่ยนในระบบโครงสร้างวัสดุ สองชั้นจึงสามารถคำนวณได้โดยการพิจารณาผลกระทบของสนาમแม่เหล็กทั้งหมดที่เกิดขึ้นภายในระบบโครงสร้างวัสดุซึ่งมีค่าดังสมการที่ (8)

$$\mathbf{H}_{eff} = \mathbf{H}_{anis} + \mathbf{H}_{exch} + \mathbf{H}_{dip} + \mathbf{H}_{app} + \mathbf{H}_{th} + \mathbf{H}_{FM-AF} \quad (8)$$

การคำนวณพลวัตของแมgnไฟเซชันในชั้นวัสดุแม่เหล็กเฟอร์โรแมกเนติกจะเลือกใช้แบบจำลองจุลภาคแบบมาตรฐานบนพื้นฐานการคำนวณของสมการ LLG เพื่ออธิบายอัตราการเปลี่ยนแปลงทิศทางของแมgnไฟเซชันในชั้นวัสดุแม่เหล็กเฟอร์โรแมกเนติกที่วิวัฒนาไปตามเวลา เนื่องจากอิทธิพลของสนาમแม่เหล็กประสิทธิผลซึ่งกระทำต่อแมgnไฟเซชัน ดังแสดงในสมการที่ (9)

$$\frac{\partial \mathbf{M}}{\partial t} = - \frac{\gamma}{(1 + \alpha^2)} \left(\mathbf{M} \times \mathbf{H}_{eff} - \alpha [\mathbf{M} \times (\mathbf{M} \times \mathbf{H}_{eff})] \right) \quad (9)$$

เมื่อ \mathbf{M} คือเวกเตอร์หนึ่งหน่วยของแมgnไฟเซชันในชั้นวัสดุแม่เหล็กเฟอร์โรแมกเนติก γ คือ ค่าสัมบูรณ์อัตราล่วนใจโร (absolute gyromagnetic ratio) และ α คือ ค่าคงที่ของการหน่วง (damping constant) สมการที่ (9) เป็นการพิจารณาการเคลื่อนที่ของแมgnไฟเซชันที่เวลาต่างๆ ซึ่งกำหนดให้ช่วงเวลาที่แมgnไฟเซชันเปลี่ยนแปลงทิศทาง (time step) มีค่าเท่ากับ 1×10^{-15} วินาที สมการการเคลื่อนที่ของแมgnไฟเซชันประกอบด้วยสองเทอมสำคัญ โดยเทอมแรกแสดงถึงการเคลื่อนที่แบบวนรอบสนาમแม่เหล็กประสิทธิผล ในขณะที่เทอมที่สองแสดงถึงการเคลื่อนที่แบบหน่วงเนื่องจากสนา姆แม่เหล็กประสิทธิผลซึ่งจะเกิดแรงบิดกระทำต่อแมgnไฟเซชันมีผลทำให้เกิดแนวโน้มที่แมgnไฟเซชันจะเคลื่อนที่และมีการจัดเรียงตัวไปในทิศทางของสนา姆แม่เหล็กประสิทธิผลซึ่งอยู่กับขนาดและทิศทางของสนา姆แม่เหล็กประสิทธิผล ลักษณะการเปลี่ยนแปลงทิศทางของแมgnไฟเซชันทั้งสองรูปแบบแสดงดังรูปที่ 1(ก) และ 1(ข) ตามลำดับ



รูปที่ 1 การเคลื่อนที่ของแม่กนไฟเซ็นเนื่องจากแรงบิดของสนามแม่เหล็กประสีทิพย์ผลแบ่งออกเป็น (ก) การเคลื่อนที่แบบหมุนวน (precession motion) และ (ข) การเคลื่อนที่แบบหน่วง (damping motion)

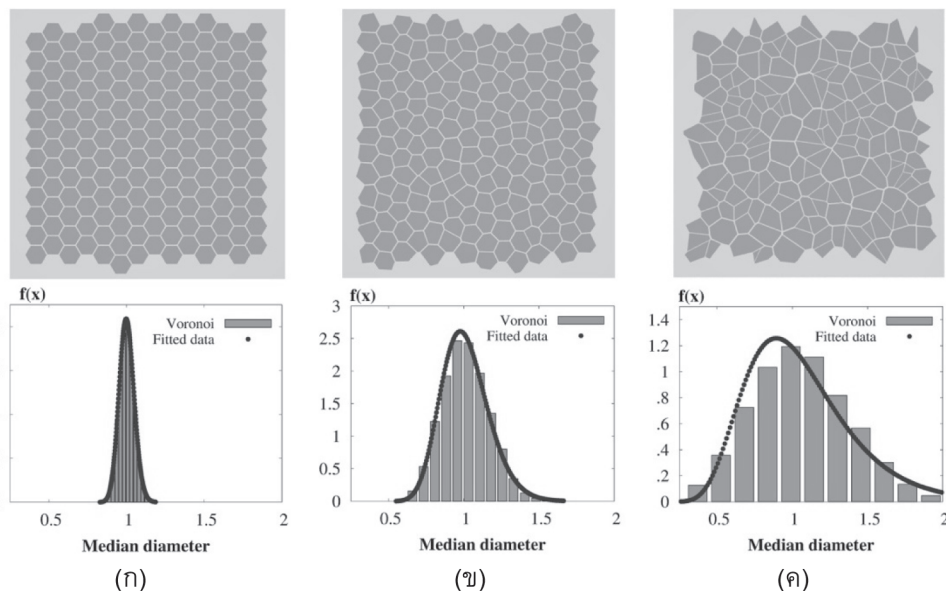
ผลการทดสอบ

ในหัวข้อนี้จะได้อธิบายถึงผลของการจำลองโครงสร้างวัสดุสองชั้นที่ประกอบด้วยชั้นวัสดุแม่เหล็กและชั้นวัสดุแม่เหล็กเฟอร์โรแมกнетิกหรือชั้นพินซึ่งถูกนำไปประยุกต์ใช้ในโครงสร้างหัวอ่านข้อมูลอาร์ดิสก์ไดร์ฟ ในลำดับแรกจะได้แสดงผลการจำลองโครงสร้างโดยอาศัยโปรแกรมจำลองโครงสร้างโวโนรอนอย เพื่อพิจารณาการทำงานของโครงสร้างวัสดุที่มีความเสถียรของหัวอ่าน สำหรับการประยุกต์ใช้กับแบบจำลองที่ถูกพัฒนาขึ้น จากนั้นจะได้อธิบายถึงผลการศึกษาปรากฏการณ์ใบอัลลอกเปลี่ยนที่เกิดขึ้นในระบบโครงสร้างวัสดุสองชั้นเนื่องจากผลกระทบอันเนื่องมาจากระยะเวลาในการคำนวณลูปวงปิด (loop time) ขนาดของเกรนแม่เหล็ก ขนาดความแรงสนามแม่เหล็กเปลี่ยน率ระหว่างชั้นวัสดุ และผลการกระจายตัวของทิศทางน้ำย่าง ตามลำดับ

การออกแบบโครงสร้างเสมือนจริงของโครงสร้างวัสดุสองชั้น

เพื่อที่จะศึกษาปัจจัยของโครงสร้างที่ส่งผลต่อปรากฏการณ์ใบอัลตราซาวด์เปลี่ยนในโครงสร้างวัสดุ แม่เหล็กสองชั้นในชั้นพิโนหัวอ่านข้อมูล สำหรับการจำลองโครงสร้างวัสดุให้มีความเสมือนจริงเพื่อนำไปใช้ในการคำนวณพลวัตของแมกนีไฟเซ็นทรัลในระบบเชิงมีความสำคัญเป็นอย่างมาก โดยรูปแบบจำลองที่ใช้ในงานวิจัยนี้สำหรับโครงสร้างวัสดุแม่เหล็กทั้งสองชั้นจะถูกออกแบบเป็นลักษณะเกรนแม่เหล็กจำนวนมากซึ่งถูกสร้างขึ้นโดยอาศัยโปรแกรมการจำลองโครงสร้างไวโอลอนอย โดยตำแหน่งของกรานแม่เหล็กทั้งสองชั้นจะถูกพิจารณาให้อยู่ในตำแหน่งเดียวกันมีลักษณะเป็นแท่งเกรน (columnar stack) นอกจากนี้ โปรแกรมไวโอลอนยังสามารถกำหนดลักษณะการกระจายตัวของเกรนเพื่อให้มีความเสมือนจริงกับลักษณะโครงสร้างของการปลูกฟิล์มของวัสดุแม่เหล็ก โดยสามารถอธิบายได้จากฟังก์ชันการกระจายตัวแบบปกติล็อก (log normal distribution) [20] ลักษณะการกระจายตัวของขนาดของเกรนจะถูกควบคุมด้วยค่าล่วงเบนมาตรฐาน (standard deviation, σ_{lnD}) โดยขนาดของเกรนแม่เหล็กที่ถูกสร้างขึ้นจะถูกแสดงอยู่ในรูปของค่ากลาง (median) ของเกรนซึ่งทำให้สามารถกำหนดขนาดเส้นผ่านศูนย์กลางของเกรนที่จำลองขึ้นได้ตามต้องการ

ในลำดับแรกจะแสดงลักษณะโครงสร้างแบบส่องมิติที่สามารถควบคุมขนาดของเกรนและการกระจายตัวของเกรนที่มีความเสมือนจริงจากโปรแกรมโวโนรอนอย เพื่อนำไปสู่การกำหนดโครงสร้างเพื่อใช้ในการคำนวณค่าสนามใบอัลตราเสียงเปลี่ยนต่อไป โดยจะทำการกำหนดค่ากลางเม็ดเท่ากัน 1 และแสดงผลของการกระจายตัวของโครงสร้างที่แตกต่างกันผ่านการกำหนดค่าส่วนเบี่ยงเบนมาตรฐาน σ_{InD} มีค่าเท่ากับ 0.1 0.3 และ 0.5 ตามลำดับ รูปที่ 2 แสดงลักษณะโครงสร้างส่องมิติที่มีผลของการกระจายของเกรนที่แตกต่างกัน สำหรับกรณีที่ $\sigma_{InD} = 0.1$ แสดงดังรูปที่ 2(ก) พนว่าเกรนทุกเกรนภายในระบบจะมีขนาดเดียวกัน (uniform grains) ทำให้แนวโน้มการกระจายตัวค่อนข้างแคบและมีเส้นกราฟการกระจายตัวตามลักษณะของฟังก์ชันการกระจายตัวแบบเก้าอี้ยน (Gaussian distribution function) แต่เมื่อส่วนเบี่ยงเบนมาตรฐานมีค่าเพิ่มสูงขึ้นเท่ากับ $\sigma_{InD} = 0.3$ แสดงดังรูปที่ 2(ข) จะเห็นได้ว่าลักษณะของเกรนในระบบที่ถูกออกแบบจะมีความนิติเบี้ยวและขาดความเสมือนส่งผลทำให้ขนาดของเกรนภายในระบบมีค่าแตกต่างกันอย่างชัดเจน (more non-uniform grains) ซึ่งแสดงดังรูปที่ 2(ค) ลักษณะการกระจายตัวของขนาดของเกรนจะเพิ่มสูงขึ้นเมื่อทำให้เส้นกราฟการกระจายตัวของขนาดของเกรนมีค่ามากขึ้นและอยู่ในรูปแบบของฟังก์ชันการกระจายตัวแบบปกติลีอกนั่นเอง



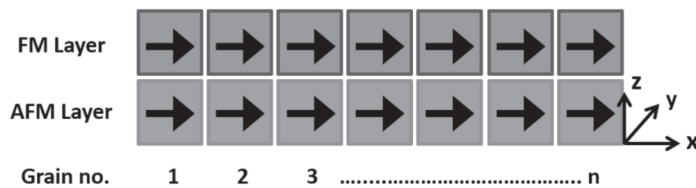
รูปที่ 2 ระบบโครงสร้างวัสดุแม่เหล็กในกรณีที่มีผลการกระจายตัวของขนาดของเกรนแม่เหล็กภายในระบบแตกต่างกัน (ก) $\sigma_{InD} = 0.1$ (ข) $\sigma_{InD} = 0.3$ และ (ค) $\sigma_{InD} = 0.5$ ตามลำดับ [18]

จากการจำลองโครงสร้างของเกณร์แม่เหล็กโดยอาศัยโปรแกรมโมโนนอยทำให้สามารถควบคุมการกระจายตัวของขนาดของเกณร์ได้นั้น จำเป็นจะต้องนำผลที่ได้ไปเปรียบเทียบกับผลการทดลองวัดขนาดของเกณร์แม่เหล็กในโครงสร้างวัสดุแม่เหล็ก ดังที่ได้อธิบายไว้ในงานวิจัยของ ชูรีมาศและคณะ [21] โดยพบว่าขนาดการกระจายตัวที่เหมาะสมสำหรับโครงสร้างวัสดุแม่เหล็กจะมีค่าการกระจายตัวที่มีการกระจายตัวของเกณร์เพียงเล็กน้อยซึ่งมีค่าส่วนเบี่ยงเบนมาตรฐานประมาณ 0.2 ดังนั้นในงานวิจัยนี้จะได้กำหนดการกระจายตัวของขนาดของเกณร์ให้มีค่าอยู่ในช่วงดังกล่าวเพื่อกำหนดให้เกณร์แม่เหล็กภายในระบบมีการกระจายตัวของขนาดของเกณร์ที่เหมาะสมใกล้เคียงกับความเป็นจริงมากที่สุด

ผลการคำนวณเชิงตัวเลข

การศึกษาผลของการออกแบบโครงสร้างสองชั้นระหว่างชั้นวัสดุแม่เหล็กเฟอร์โรแมกнетิกและชั้นวัสดุแม่เหล็กแอนติเฟอร์โรแมกเนติกต่อปراภารณ์ใบอัลแลกเปลี่ยนผ่านรูปแบบจำลองแบบแกร์นูลาร์ซึ่งเป็นการคำนวณทางคอมพิวเตอร์ในระดับจุลภาค ในลำดับแรกจะทำการพิจารณาปัจจัยที่ส่งผลต่อการคำนวณคุณสมบัติแม่เหล็กทางคอมพิวเตอร์คือ การกำหนดระยะเวลาการคำนวณพลวัตของแมgnน์ไทรเซ็นที่เหมาะสมและสอดคล้องกับการทดลองซึ่งระยะเวลาที่ทำการกำหนดนี้คือระยะเวลาที่ใช้ในการวัดวงปิดอีสเทอเรชัล 1 รอบ หลังจากนั้นจะทำการพิจารณาผลของโครงสร้างและปัจจัยที่ส่งผลต่อค่าสนามใบอัลแลกเปลี่ยน ได้แก่ ผลของการออกแบบขนาดของเกณร์ในวัสดุแม่เหล็ก ผลของอันตรกิริยาแลกเปลี่ยนระหว่างชั้นแม่เหล็กเฟอร์โรแมกเนติกและแอนติเฟอร์โรแมกเนติกเนื่องจากความไม่สมบูรณ์ในการปลูกฟิล์มของชั้นวัสดุทึ้งสอง และในลำดับสุดท้ายจะทำการรวมผลของการกระจายตัวของทิศแกนง่ายของแมgnน์ไทรเซ็นในชั้นวัสดุแม่เหล็กทึ้งสองซึ่งรูปแบบจำลองนี้จะมีความเสถียรคงที่และใกล้เคียงกับการทดลอง

ในงานวิจัยนี้ได้เลือกใช้วัสดุแม่เหล็กโคบัลต์ไอรอน (Cobalt Iron, CoFe) และอิริดิียมแมgnน์ไอลิเมเนต (Iridium Manganese, IrMn) ซึ่งมีคุณสมบัติเป็นวัสดุแม่เหล็กเฟอร์โรแมกเนติกและวัสดุแม่เหล็กแอนติเฟอร์โรแมกเนติก ตามลำดับ ซึ่งเป็นวัสดุที่ถูกใช้จริงในหัวอ่านข้อมูล โดยระบบโครงสร้างวัสดุแม่เหล็กสองชั้นที่ถูกใช้ในการศึกษานี้จะประกอบไปด้วยเกณรกายในระบบจำนวน 200 เกณร ซึ่งแต่ละเกณรถูกกำหนดให้มีขนาดเด่นผ่านศูนย์กลางของเกณรเฉลี่ยเท่ากับ 8 นาโนเมตร เกณรกายในระบบที่ถูกกำหนดขึ้นนี้จะมีลักษณะการกระจายตัวซึ่งมีค่าส่วนเบี่ยงเบนมาตรฐานเท่ากับ 0.2 [21-22] โดยที่ความหนาของชั้นวัสดุแม่เหล็ก CoFe/IrMn มีค่าเท่ากับ 10 นาโนเมตร เมื่อค่าพารามิเตอร์ทางแม่เหล็กของวัสดุแม่เหล็กทึ้งสองชนิดถูกกำหนดดังนี้ วัสดุแม่เหล็ก CoFe มีค่าอุณหภูมิวิกฤตหรืออุณหภูมิคิรี (Curie temperature, T_c) 1300 เคลวิน ค่าแมgnน์ไทรเซ็นอิมตัว $M_s = 1800$ เอิร์กต่อลูกบาศก์เซนติเมตร (emu/cc) และค่าคงที่แอนไอโซ-โโทรปี $K_{CoFe} = 1.8 \times 10^5$ เอิร์กต่อลูกบาศก์เซนติเมตร สำหรับวัสดุแม่เหล็ก IrMn จะมีค่าอุณหภูมิวิกฤตหรืออุณหภูมินีล (Neel temperature) $T_N = 690$ เคลวิน [11, 23] และค่าคงที่แอนไอโซ-โโทรปี $K_{IrMn} = 5.56 \times 10^6$ เอิร์กต่อลูกบาศก์เซนติเมตร [23] ในการศึกษาเบื้องต้นจะทำการกำหนดการกระจายทิศแกนง่ายของแมgnน์ไทรเซ็นในรูปแบบที่ไม่มีการกระจายตัวของทิศแกนง่ายบริเวณรอยต่อ แสดงดังรูปที่ 3 โดยจะเห็นได้ว่าแมgnน์ไทรเซ็นในโครงสร้างวัสดุเหล็กทึ้งสองชั้นจะมีการจัดเรียงตัวไปตามทิศแกนง่ายอย่างสมบูรณ์ตามแนวแกน $+y$ โดยระบบจะถูกใช้พิจารณาค่าระยะเวลาในการคำนวณพลวัตของแมgnน์ไทรเซ็น อิทธิพลเนื่องจากปัจจัยของการลดขนาดของโครงสร้าง และอันตรกิริยาระหว่างชั้นแม่เหล็กเฟอร์โรแมกเนติกและแอนติเฟอร์โรแมกเนติก ในลำดับถัดไป

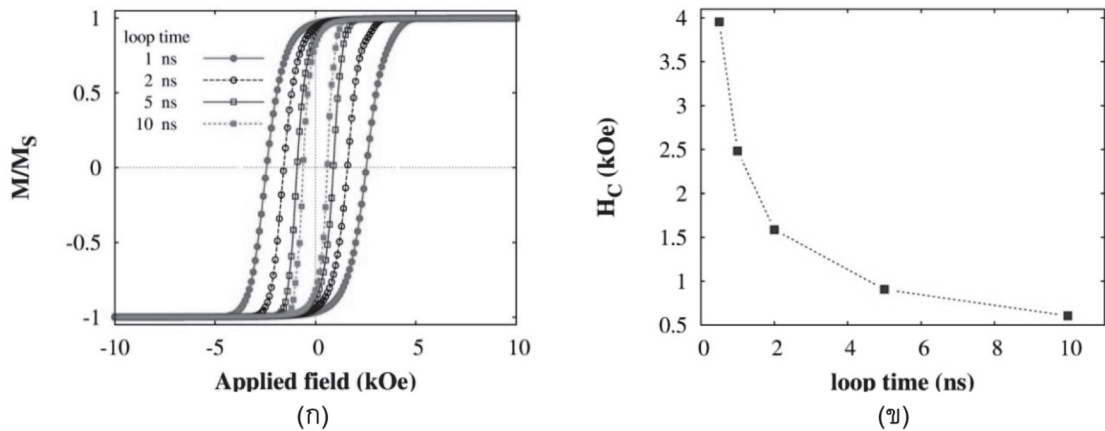


รูปที่ 3 แสดงลักษณะการจัดเรียงตัวของแมgnนไทเซ็นที่ชั้นผิวอยู่ต่อโครงสร้างวัสดุแม่เหล็ก 2 ชั้น

1. ผลของการกำหนดระยะเวลาในการคำนวณพลวัตของแมgnนไทเซ็น

การพิจารณาคุณสมบัติพื้นฐานของวัสดุแม่เหล็กภายในระบบโครงสร้างวัสดุแม่เหล็กจะถูกแสดงอยู่ในรูปของวงปิดไฮสเตอร์เรซิส (hysteresis loop) โดยปัจจัยที่สำคัญสำหรับการศึกษาสมบัติทางแม่เหล็ก คือ ปริมาณสนามเด eo เออร์ซิวตี (coercivity field, HC) ซึ่งโดยทั่วไป พบว่าปัจจัยที่ส่งผลอย่างมากต่อค่าสนามหมุนกลับคือ ระยะเวลาเฉลี่ยในการพิจารณาผลกระทบของแมgnนไทเซ็นในระบบสำหรับการวัดวงปิดไฮสเตอร์เรซิส 1 รอบ ดังนั้น การศึกษาผลกระทบของระยะเวลาเฉลี่ยในการวัดวงปิดไฮสเตอร์เรซิสสำหรับระบบโครงสร้างสองชั้นที่ไม่ได้คิดผลของการแลกเปลี่ยนอันตรกิริยาระหว่างชั้นวัสดุที่อุณหภูมิ 0 เคลวิน จะถูกพิจารณาในลำดับแรก เพื่อพิจารณาหาช่วงเวลาที่เหมาะสมที่สุดสำหรับการศึกษาปรวกภูการณ์ในอัลแลกเปลี่ยน โดยจะพิจารณาระยะเวลาที่แตกต่างกันซึ่งมีค่าเท่ากับ 1×10^{-9} , 2×10^{-9} , 5×10^{-9} และ 10×10^{-9} วินาที และกำหนดให้ขนาดของสนามแม่เหล็กภายนอกสูงสุดที่ถูกป้อนเข้าสู่ระบบตามทิศทางนั้นมีค่าเท่ากับ 10×10^3 เออร์สเตด และมีค่าเปลี่ยนแปลงครั้งละ 100 เออร์สเตด แสดงดังรูปที่ 4(ก)

จากการคำนวณพบว่าเมื่อทำการเพิ่มระยะเวลาเฉลี่ยในการคำนวณวงปิดไฮสเตอร์เรซิสมีผลทำให้ความกว้างของวงปิดไฮสเตอร์เรซิสลดลงอย่างเห็นได้ชัด เมื่อเปรียบเทียบขนาดของวงปิดไฮสเตอร์เรซิสในกรณีที่ใช้ระยะเวลาเฉลี่ยในการคำนวณเท่ากับ 1×10^{-9} และ 10×10^{-9} วินาที แสดงดังรูปที่ 4(ก) และเมื่อทำการวัดค่าสนามเด eo เออร์ซิวตีจากวงปิดไฮสเตอร์เรซิสที่ระยะเวลาเฉลี่ยต่างๆ ในรูปที่ 4(ข) พบว่า ปริมาณสนามเด eo เออร์ซิวตีจะมีค่าลดลงอย่างรวดเร็วในช่วงระยะเวลาตั้งแต่ 1×10^{-9} ถึง 5×10^{-9} วินาที และมีค่าลดลงถึง 20% ที่เวลาเท่ากับ 10×10^{-9} วินาที สอดคล้องกับผลการคำนวณของ จูรีมาศและคณะ [24] โดยสาเหตุการลดลงของค่าสนามเด eo เออร์ซิวตีเป็นผลเนื่องมาจากการตอบสนองของแมgnนไทเซ็นต่อผลของสนามแม่เหล็กประสิทธิ์ผลที่เกิดขึ้นภายในระบบจะมีค่าขึ้นอยู่กับระยะเวลาในการวัด ซึ่งเป็นตัวกำหนดการผันกลับทิศทางของแมgnนไทเซ็นภายในระบบให้เข้าสู่สภาวะสมดุล (equilibrium state) นั้นเอง อย่างไรก็ตาม ระยะเวลาเฉลี่ยที่ใช้ในการวัดวงปิดไฮสเตอร์เรซิสจะส่งผลต่อระยะเวลาในการคำนวณของแบบจำลองด้วยซึ่งจะเห็นได้ว่าในกรณีที่ระยะเวลาเฉลี่ยมีค่าเท่ากับ 5×10^{-9} วินาที สามารถทำให้แมgnนไทเซ็นในระบบเข้าสู่สภาวะสมดุลได้เช่นเดียวกัน ดังนั้นในงานวิจัยนี้จะได้กำหนดระยะเวลาเฉลี่ยในการคำนวณวงปิดไฮสเตอร์เรซิสให้มีค่าเท่ากับ 5×10^{-9} วินาที เพื่อให้มีความสอดคล้องกับการทำทดลองและลดระยะเวลาในการคำนวณของแบบจำลองนั้นเอง



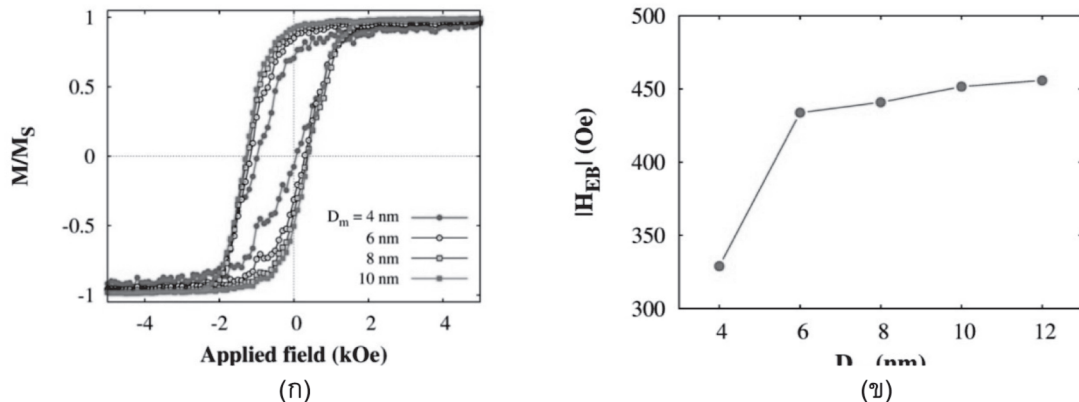
รูปที่ 4 (ก) ลักษณะของวงปิดฮีสเทอริซีสของโครงสร้างวัสดุแม่เหล็กเมื่อมีการเปลี่ยนแปลงระยะเวลา เคลื่อนไหวการวัดและ (ข) ค่าเคอเรอร์ชิตที่ระยะเวลาเคลื่อนย้ายต่างๆ

2. ผลกระทบของขนาดของเกรนที่ส่งผลต่อปรากฏการณ์ในอัลลอยเปลี่ยน

เมื่อสามารถกำหนดระบบโครงสร้างวัสดุแม่เหล็กสองชั้นและค่าพารามิเตอร์ทางแม่เหล็กของวัสดุแม่เหล็กโคงอลต์ไฮโรนและวัสดุแม่เหล็กอิริเดียมแมงกานีสรวมไปถึงเนื้อไขในการทดลองได้แล้ว ในลำดับต่อไปจะทำการศึกษาปัจจัยที่ส่งผลกระทบต่อการเกิดปรากฏการณ์ในอัลลอยเปลี่ยนในระบบดังกล่าวเพื่อให้เข้าใจถึงกระบวนการการทำงานฟิสิกส์ที่ส่งผลทำให้คุณสมบัติพื้นฐานทางแม่เหล็ก ในลำดับแรกจะได้ทำการพิจารณาผลกระทบของขนาดของเกรนเคลื่ย เมื่อจากเป็นปัจจัยที่สำคัญสำหรับการพิจารณาเสถียรภาพทางความร้อนของระบบ ในกรณีศึกษานี้ได้กำหนดให้ปริมาณความแรงของสนามแมกเลี่ยนหรือค่าอันตรกิริยา และเปลี่ยนระหว่างชั้นวัสดุแม่เหล็กโคงอลต์ไฮโรนและวัสดุแม่เหล็กอิริเดียมแมงกานีสมีค่าสนามแมกเลี่ยนระหว่างชั้น $H_{int} = 500$ เออสเตด (Oersted, Oe) และผลกระทบของขนาดของเกรนเคลื่ยต่อการเปลี่ยนแปลงขนาดของวงปิดฮีสเทอริซีสจะถูกพิจารณาที่ช่วงอุณหภูมิห้อง 300 เคลวิน และขนาดของเกรนเคลื่ยมีค่าตั้งแต่ 4 นาโนเมตรถึง 12 นาโนเมตร โดยมีค่าเพิ่มขึ้นครั้งละ 2 นาโนเมตร

รูปที่ 5(ก) แสดงลักษณะลูปวงปิดฮีสเทอริซีสของโครงสร้างที่มีผลของค่าขนาดของเกรนที่แตกต่างกันโดยพบว่าลูปวงปิดฮีสเทอริซีสของทุกระบบที่มีการเคลื่อนที่ออกจากแกนสมมาตรไปด้านซ้ายเมื่อตามแนวแกนสนามแม่เหล็กภายในออก สาเหตุเนื่องจากผลของปรากฏการณ์ในอัลลอยเปลี่ยน นอกจากนี้ จะสังเกตได้ว่าผลกระทบของขนาดของเกรนจะมีผลทำให้รูปวงของวงปิดฮีสเทอริซีสที่แตกต่างกันและระยะที่เลื่อนออกไปจากแกนสมมาตรโดยเกรนที่มีขนาดเล็ก 4 นาโนเมตร จะมีการเลื่อนออกจากแกนสมมาตรน้อยที่สุด ในทางตรงกันข้ามพบว่าขนาดของเกรนที่มีขนาดใหญ่ที่สุด 10 นาโนเมตร จะมีการเลื่อนของลูปวงปิดฮีสเทอริซีสได้ไกลที่สุด โดยทั่วไปการเลื่อนออกจากแกนสมมาตรจะแสดงถึงความแรงในการยึดทิศทางแมgnไฟเซนในชั้นวัสดุแม่เหล็กเฟอร์โรแมกнетิกไม่ให้เปลี่ยนทิศทางนั้นเองหรือสามารถอธิบายอยู่ในรูปของค่าสนามในอัลลอยเปลี่ยน (H_{EB}) ซึ่งเป็นค่าสนามแม่เหล็กภายนอกที่วัดจากแกนสมมาตรไปยังจุดกึ่งกลาง

ของลูปปิดอิสเทอรีซีส สามารถคำนวณได้จาก $H_{EB} = (H_- + H_+)/2$ [7] เมื่อ H_- และ H_+ คือ ค่าเคอเรอร์ชีวิตที่วัดทางด้านซ้ายและขวาของลูปปิดอิสเทอรีซีส ตามลำดับ



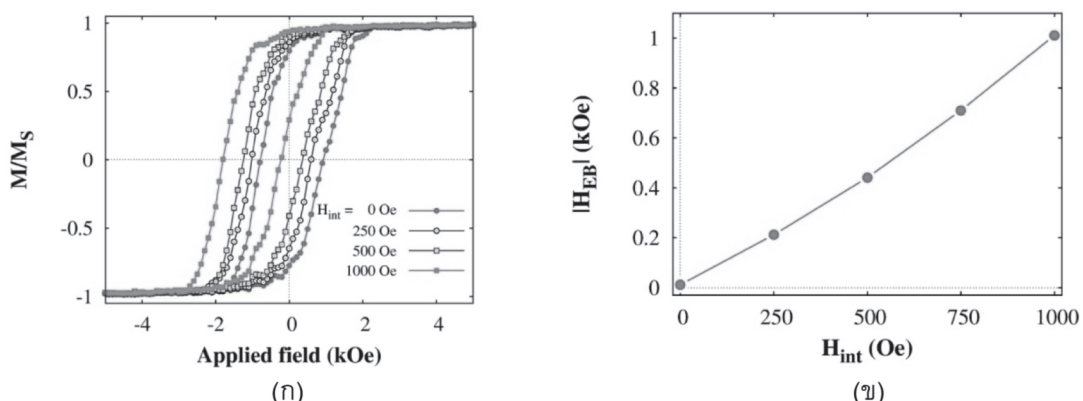
รูปที่ 5 (ก) ลักษณะของวงปิดอิสเทอรีซีสของโครงสร้างวัสดุแม่เหล็กเมื่อมีการเปลี่ยนแปลงขนาดของเกรนเฉลี่ยมีค่าตั้งแต่ 4 นาโนเมตรถึง 10 นาโนเมตร และ (ข) ค่าสนามใบอัลลอกเปลี่ยนที่ขนาดของค่า D_m มีค่าแตกต่างกัน

รูปที่ 5 (ข) แสดงค่าสนามใบอัลลอกเปลี่ยน H_{EB} ต่อการเปลี่ยนแปลงของขนาดเส้นผ่านศูนย์กลางของเกรนเฉลี่ยซึ่งพบว่าขนาดของเกรนที่มีขนาดเล็กค่า H_{EB} จะมีค่าน้อยที่สุดประมาณ 325 เออสเต็ด ในขณะที่เมื่อทำการเพิ่มค่าเส้นผ่านศูนย์กลางที่สูงขึ้น ค่าสนามใบอัลลอกเปลี่ยนจะมีค่าสูงมากขึ้น และมีค่าเริ่มคงที่ ผลการศึกษาให้ผลที่สอดคล้องกับค่าทางทฤษฎีและผลการทดลองในการวัดค่าสนามใบอัลลอกเปลี่ยนต่อผลของขนาดเส้นผ่านศูนย์กลาง [10] ซึ่งสามารถอธิบายได้โดยการยึดทิศทางของแมgnนิไฟเชชันของชั้นฟิล์มแม่เหล็กเฟอร์โรแมกнетิกจะมีค่ามากหรือน้อยจะขึ้นอยู่กับพลังงานอุปสรรค (energy barrier) เนื่องจากอันตรกิริยาของชั้นแม่เหล็กแอนติเฟอร์โรแมกเนติกมีค่าปรับผันตาม $E_{AF} \propto K_{AF} V_{AF}$ เมื่อ K_{AF} แทน ค่าคงที่ของเฟอร์โรแมกเนติกที่มีค่าเท่ากับผลคูณของขนาดของเกรนเฉลี่ย D_m และความหนาของชั้นฟิล์ม t_{AF} ดังนั้นเมื่อขนาดเส้นผ่านศูนย์กลางของเกรนที่มีค่าน้อยลงส่งผลให้ปริมาตรของระบบลดลงและส่งผลให้ค่าพลังงานอุปสรรค มีค่าน้อยซึ่งจะส่งผลต่อการรักษาทิศของแมgnนิไฟเชชันได้น้อย เช่นเดียวกัน จึงส่งผลให้ค่าสนามใบอัลลอกเปลี่ยนที่สูงขึ้นเช่นเดียวกัน จากการศึกษานี้สามารถสรุปได้ว่าการลดลงของขนาดของเกรนที่มีขนาดที่เล็กมากจะส่งผลให้ระบบขาดเสถียรภาพทางความร้อน เนื่องจากพลังงานอุปสรรคที่รักษาทิศทางในชั้นอ้างอิงมีค่าต่ำเกินไป ในขณะที่เมื่อทำการเพิ่มขนาดของเกรนที่สูงขึ้นจะส่งผลต่อการเพิ่มค่าความเสถียรทางความร้อนแต่เมื่อทำการเพิ่มขนาดของเกรนถึงจุดหนึ่งจะพบว่าผลของการเพิ่มขนาดของเกรนจะไม่ส่งผลต่อการเพิ่มของค่าสนามใบอัลลอกเปลี่ยนนั้นเอง ดังนั้นการลดขนาดของเกรนในหัวอ่านเพื่อตอบสนองต่อการลดขนาดที่เล็กลงของอุปกรณ์ในหัวอ่านข้อมูลจำเป็นต้องคำนึงถึงค่าความเสถียรทางความร้อนและมีการเลือก

ขนาดของกรานที่เหมาะสมนั้นเอง

3. ผลกระทบของค่าสนามแลกเปลี่ยนระหว่างชั้นที่ส่งผลต่อปรากฏการณ์ใบอัลแลกเปลี่ยน

ปัจจัยอีกหนึ่งปัจจัยที่ส่งผลต่อการยึดทิศทางของแมgnนิไฟเซชันในชั้นพินของหัวอ่านข้อมูลในชาร์ดิสก์ไดร์คือผลของการรวมเรียบที่ผิวรอยต่อระหว่างชั้นแมgnนิไฟเซชันและชั้นพินของหัวอ่านข้อมูลในชาร์ดิสก์ไดร์ค ซึ่งมีผลต่อค่าสนามใบอัลแลกเปลี่ยน สำหรับการพิจารณาปัจจัยนี้ผ่านรูปแบบจำลองทางคอมพิวเตอร์ระดับจุลภาคจะทำการพิจารณาผ่านพารามิเตอร์ที่เรียกว่า ปริมาณสนามแลกเปลี่ยนระหว่างชั้น H_{int} ซึ่งใช้แสดงถึงความแรงของสนามแมgnนิไฟเซชันในชั้นวัสดุแมgnนิไฟเซชันและชั้นวัสดุแมgnนิไฟเซชันในชาร์ดิสก์ไดร์ค โดยในการศึกษานี้จะทำการจำลองลักษณะโครงสร้างและคุณสมบัติทางแมgnนิไฟเซชันที่ใช้ในการศึกษาทั้ง 2 ชั้น ตามรายละเอียดในหัวข้อที่ผ่านมา โดยทำการศึกษาผลเนื่องจากปริมาณสนามแลกเปลี่ยนระหว่างชั้นแมgnนิไฟเซชันทั้งสองซึ่งจะทำการกำหนดความแรงของ H_{int} มีค่าตั้งแต่ 0, 250, 500 และ 1000 เออร์สเตด



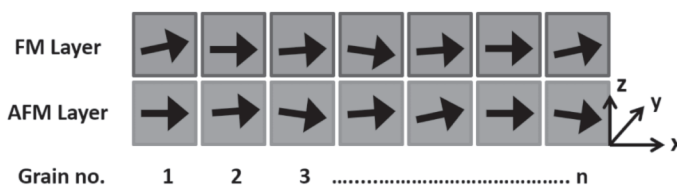
รูปที่ 6 (ก) ลักษณะของวงปิดอิสเทอรีชีสของโครงสร้างวัสดุแมgnนิไฟเซชันและ (ข) ขนาดของค่า H_{EB} ที่สามารถคำนวณได้จากการปิดอิสเทอรีชีสในกรณีที่มีการเปลี่ยนแปลงค่า H_{int}

ในการศึกษานี้ได้ทำการวัดวงปิดอิสเทอรีชีสในกรณีที่ค่า H_{int} มีค่าแตกต่างกันตั้งแต่ 0-1000 เออร์สเตด เพื่อคำนวณหาค่า H_{EB} ที่เหมาะสมและสามารถเปรียบเทียบกับผลการทดลองวัดขนาดของค่า H_{EB} ได้จริง แสดงดังรูปที่ 6 (ก) ซึ่งจะเห็นได้ว่า วงปิดอิสเทอรีชีสจะมีความสมมาตรและไม่มีการเคลื่อนที่ออกจากแนวแกนสนามแมgnนิไฟเซชันทั้งสองซึ่งจะมีผลต่อการยึดทิศทางของหัวอ่านข้อมูลในชาร์ดิสก์ไดร์ค ดังนั้นจึงต้องคำนึงถึงค่า H_{int} ที่เหมาะสมที่สุด ซึ่งเป็นปัจจัยสำคัญต่อการยึดทิศทางของชั้นแมgnนิไฟเซชันในชั้นเฟอร์โรแมgnนิก ดังนั้นลูปวงปิดอิสเทอรีชีสที่วัดได้จะมีลักษณะคล้ายกับลูปวงปิดของวัสดุแมgnนิไฟเซชันและชั้นเฟอร์โรแมgnนิกเพียงชั้นเดียว ในขณะที่เมื่อทำการเพิ่มค่าปริมาณสนามแลกเปลี่ยน H_{int} ให้มีค่าเพิ่มขึ้นจะพบว่าอัตราการเคลื่อนที่ของวงปิดอิสเทอรีชีสจะมีแนวโน้มที่เลื่อนออกจากแกนสมมาตร

เพิ่มสูงขึ้น แต่ขนาดความกว้างของวงปิดอิสเทอร์เชียลยังคงมีแนวโน้มไม่เปลี่ยนแปลง สาเหตุเนื่องมาจากการเพิ่มค่า H_{int} ส่งผลต่อการเกิดอันตรายระหว่างแมgnไฟเซชันของชั้นแอนติเฟอร์โรแมกнетิกกับชั้นเฟอร์โรแมกเนติกที่สูงขึ้นทำให้การเปลี่ยนทิศทางของแมgnไฟเซชันในชั้นเฟอร์โรแมกเนติกเกิดขึ้นได้ยาก ดังนั้น ถ้าต้องการวัดลูปวงปิดอิสเทอร์เชียสจำเป็นจะต้องใช้ปริมาณสนามแม่เหล็กภายนอกที่สูงขึ้นเพื่อที่อาจนะอันตราย แลกเปลี่ยนระหว่างชั้นแม่เหล็กทั้งสอง เนื่องจากปรากฏการณ์ในอัลลัคเปลี่ยนและทำให้แมgnไฟเซชันในชั้นวัสดุแม่เหล็กเฟอร์โรแมกเนติกเกิดการหมุนกลับทิศทางตามทิศของสนามแม่เหล็กภายนอกได้ โดยรูปที่ 6(ข) แสดงความสัมพันธ์ระหว่างสนามในอัลลัคเปลี่ยน H_{EB} กับปริมาณสนามแลกเปลี่ยนระหว่างชั้น H_{int} พบว่าค่า H_{EB} จะมีค่าเป็น 0 เนื่องจากไม่เกิดการเลื่อนของลูปวงปิดและเมื่อทำการเพิ่มค่า H_{int} จะส่งผลให้ H_{EB} มีค่าสูงถึง 1000 เออร์สเตเด ซึ่งสอดคล้องกับค่าทางทฤษฎี

4. ระบบพิจารณาผลการกระจายตัวของทิศแกนง่าย

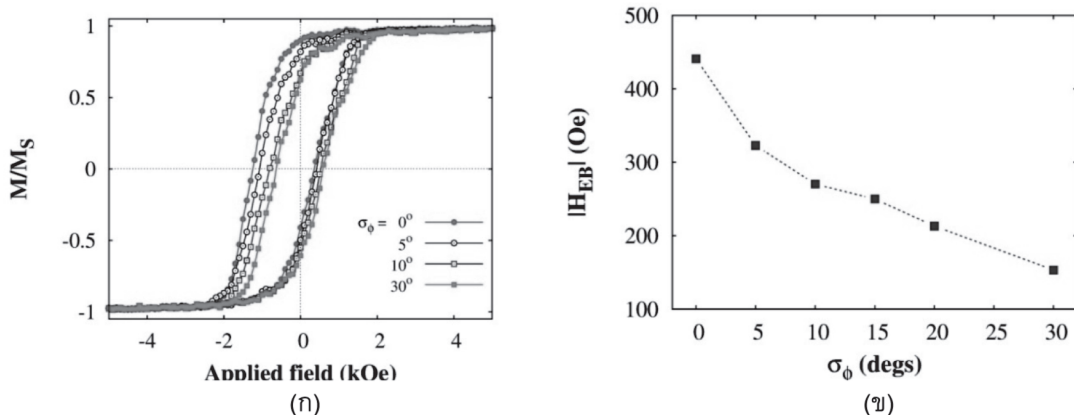
เพื่อความสมบูรณ์ของรูปแบบจำลองแบบแกรนูลาร์ในงานวิจัยนี้ได้มีการพัฒนารูปแบบจำลองให้มีความเสมือนจริง ตามลักษณะการปููกฟิล์มบางของชั้นวัสดุแม่เหล็ก 2 ชั้น ซึ่งจากความไม่สมบูรณ์ของชั้นรอยต่อนี้จะส่งผลให้เกิดการกระจายตัวของทิศแกนง่ายของแมgnไฟเซชันของวัสดุแม่เหล็กเฟอร์โรแมกเนติกและแอนติเฟอร์โรแมกเนติก โดยทั่วไปรูปแบบจำลองจะทำการกำหนดให้ลักษณะการกระจายตัวเป็นแบบสมบูรณ์หรือไม่เกิดการกระจายตัวของทิศแกนง่าย แต่สำหรับงานวิจัยนี้จะทำการพิจารณาผลของการกระจายตัวโดยกำหนดให้แมgnไฟเซชันในชั้นวัสดุแม่เหล็กเฟอร์โรแมกเนติกและแอนติเฟอร์โรแมกเนติกมีการจัดเรียงทิศทางไปในแนวแกน +y และมีการกระจายตัวรอบทิศแกนง่ายในระนาบ xy แสดงดังรูปที่ 7 เนื่องจากอัตราการเกิดปรากฏการณ์ในอัลลัคเปลี่ยนจะขึ้นอยู่กับการจัดเรียงทิศทางของแมgnไฟเซชันในชั้นวัสดุแม่เหล็กแอนติเฟอร์โรแมกเนติก [15-16, 21]



รูปที่ 7 แสดงลักษณะการเกิดการกระจายตัวของแมgnไฟเซชันที่ชั้นผิวอยู่ต่อโครงสร้างวัสดุแม่เหล็ก 2 ชั้น

สำหรับการพิจารณาผลของการกระจายตัวของทิศแกนง่ายของแมgnไฟเซชันในชั้นวัสดุแม่เหล็ก จะทำการพิจารณาการกระจายตัวตามรูปแบบฟังก์ชันการกระจายตัวแบบเกาส์เซียนซึ่งสามารถกำหนดมุมการกระจายตัวของทิศแกนง่าย σ_ϕ ได้ดังที่อธิบายไว้แล้วในหัวข้อ แบบจำลองทางแม่เหล็กแบบแกรนูลาร์ โดยระบบจะทำการกำหนดโครงสร้างและคุณสมบัติของวัสดุแม่เหล็ก CoFe/IrMn ตามรายละเอียดข้างต้นและพิจารณาผลการกระจายตัวของทิศแกนง่ายโดยกำหนดการเปลี่ยนแปลงค่า σ_ϕ มีค่า 0, 5, 10 และ 30 องศา จากการพิจารณาผลของการกระจายของทิศแกนง่ายต่อปรากฏการณ์ในอัลลัคเปลี่ยน รูปที่ 8(ก) ซึ่งแสดงลักษณะของลูปวงปิดอิสเทอร์เชียสต่อผลของการกระจายตัวของทิศแกนง่ายพบว่า สำหรับกรณีที่ไม่คิดผลของการกระจายตัวของทิศแกนง่ายลักษณะของลูปวงปิดมีการเลื่อนออกจากทิศแกนง่ายมากที่สุด ในขณะที่เมื่อ

ทำการเพิ่มค่า σ_ϕ ให้มีค่าสูงขึ้นพบว่าลักษณะการเลื่อนของคลูปวงปิดมีการเลื่อนใจทางแกนสมมาตรหรือไม่เกิดการเลื่อนของคลูปวงปิดอีสเทอร์เช็ต นอกจากนี้สามารถแสดงผลของค่าสนามในอัลลอกเปลี่ยนกับผลของการกระจายตัวของทิศแกนง่ายได้ดังรูปที่ 8 (ข) โดยพบว่าค่า H_{EB} มีค่าสูงที่สุดที่ 450 เออร์สเตต ในขณะที่เมื่อเพิ่มค่าการกระจายตัวของทิศแกนง่ายเป็น $\sigma_\phi = 30$ องศา พบว่าค่า H_{EB} มีค่าลดลงถึง 60% เทียบกับระบบที่ไม่พิจารณาผลของการกระจายตัวของทิศแกนง่าย $\sigma_\phi = 0$ องศา สาเหตุการลดลงของค่า H_{EB} เนื่องมาจากการกระจายตัวของทิศแกนง่ายในชั้นวัสดุแม่เหล็กแอนติเฟอร์โรแมกเนติกมีผลทำให้ผลรวมของแมgnิไทเซ็น (net magnetisation) ในชั้นดังกล่าวซึ่งทำหน้าที่ในการบังคับทิศทางของแมgnิไทเซ็นในชั้นวัสดุแม่เหล็กเฟอร์โรแมกเนติกมีค่าลดลงตามไปด้วย [15-16] นอกจากนี้ผลของการกระจายตัวของทิศแกนง่ายมีผลต่อการลดลงของปริมาณ เดอเออร์ชิวิติ ตามทฤษฎี Stoner-Wohlfarth [25] ดังนั้นจึงสามารถสรุปได้ว่าผลการกระจายตัวของทิศแกนง่ายเป็นอีกหนึ่งปัจจัยที่สำคัญต่อการลดค่าสนามในอัลลอกเปลี่ยนเนื่องจากปรากฏการณ์ในอัลลอกเปลี่ยนในระบบโครงสร้างวัสดุแม่เหล็กสองชั้นและในโครงสร้างหัวอ่านข้อมูล



รูปที่ 8 (ก) ลักษณะของวงปิดอีสเทอร์เช็ตของโครงสร้างวัสดุแม่เหล็กในกรณีที่แมgnิไทเซ็นในชั้นวัสดุแม่เหล็กแอนติเฟอร์โรแมกเนติกถูกกำหนดให้มีการกระจายตัวตั้งแต่ 0 องศาถึง 30 องศาและ (ข) ค่า H_{EB} ที่มุ่งการกระจายตัวมีค่าต่างๆ

สรุปและวิจารณ์ผลการทดลอง

งานวิจัยนี้ได้ทำการพัฒนารูปแบบจำลองระดับจุลภาคแบบมาตรฐานเพื่อใช้สำหรับการศึกษาผลศาสตร์ของแมกนีไฟเซ็นชันที่ส่งผลทำให้เกิดปรากฏการณ์ใบอัลแลกเปลี่ยนในระบบโครงสร้างวัสดุแม่เหล็กสองชั้นที่ประกอบด้วยวัสดุแม่เหล็กโบทอรอนและอิรีเดียมแมงกานีส ซึ่งถูกนำไปประยุกต์ใช้ในหัวอ่านข้อมูลฮาร์ดดิสก์ไดร์ฟ ปัจจัยที่สำคัญซึ่งเป็นตัวกำหนดผลศาสตร์ของแมกนีไฟเซ็นชันภายใต้ระบบทั้งที่เป็นลักษณะทางกายภาพและคุณสมบัติภายในวัสดุแม่เหล็กโดยเฉพาะอย่างยิ่งผลกระทบระยะห่างที่ศักดิ์แกนง่ายที่เกิดขึ้นเนื่องจากความไม่สมบูรณ์แบบของการปลูกฟิล์มแม่เหล็กได้รับการศึกษาเพื่อให้เข้าใจถึงกระบวนการทางฟิสิกส์ซึ่งจะนำไปสู่การออกแบบและพัฒนาหัวอ่านข้อมูลฮาร์ดดิสก์ไดร์ฟต่อไปในอนาคต โดยแบบจำลองที่ถูกพัฒนาขึ้นจะถูกใช้ในการอธิบายผลศาสตร์ของแมกนีไฟเซ็นชันโดยอาศัยสมการ LLG ที่สามารถพิจารณาผลของค่าสนามแม่เหล็กภายในตัววัสดุแม่เหล็กเองและค่าสนามแม่เหล็กภายนอกรวมทั้งสนามแม่เหล็กระหว่างชั้นวัสดุที่ใช้กำหนดผลของการเกิดอันตรายโดยเปลี่ยนหรือปรากฏการณ์ใบอัลแลกเปลี่ยน การศึกษาปัจจัยที่ส่งผลกระทบต่อการเกิดปรากฏการณ์ใบอัลแลกเปลี่ยนและเสถียรภาพทางความร้อนของระบบโดยอาศัยแบบจำลองในระดับจุลภาคซึ่งเป็นวิธีการคำนวณเชิงตัวเลขนี้จะช่วยให้สามารถเข้าใจกระบวนการทางฟิสิกส์ได้อย่างแม่นยำซึ่งนำไปสู่การพัฒนาและเพิ่มศักยภาพของหัวอ่านข้อมูล

การคำนวณผลศาสตร์ของแมกนีไฟเซ็นชันโดยอาศัยแบบจำลองระดับจุลภาคแบบมาตรฐาน พบว่าปัจจัยที่ถูกเลือกมาพิจารณาได้แก่ระยะเวลาที่ใช้ในการคำนวณ ขนาดของเกรนเฉลี่ยและปริมาณ H_{int} เป็นต้น ล้วนแล้วแต่ส่งผลกระทบอย่างมากต่อคุณสมบัติของโครงสร้างวัสดุแม่เหล็กสองชั้นและปรากฏการณ์ใบอัลแลกเปลี่ยน ดังนั้น จึงมีความจำเป็นอย่างยิ่งที่จะต้องคำนึงถึงปัจจัยพื้นฐานเหล่านี้สำหรับการพิจารณาผลลัพธ์ของแมกนีไฟเซ็นชันในระบบโครงสร้างวัสดุแม่เหล็ก นอกจากนี้ ยังพบว่าการลดลงของค่า H_{EB} ในระบบที่พิจารณาผลของการกระจายตัวเท่ากับ 30 องศาคีลีวีนถึง 60% เมื่อเทียบกับระบบที่ไม่พิจารณาผลการกระจายตัวของทิศแกนง่าย โดยสาเหตุการลดลงของค่า H_{EB} เนื่องจากการกระจายตัวของทิศแกนง่ายในชั้นวัสดุแม่เหล็กแอนติเฟอร์โรแมกнетิกมีผลทำให้ปริมาณแมกนีไฟเซ็นชันสูงขึ้นดังกล่าว ซึ่งทำให้สามารถสรุปได้ว่าผลการกระจายตัวของทิศแกนง่ายเป็นอีกหนึ่งปัจจัยที่ส่งผลต่อการเปลี่ยนแปลงค่า H_{EB} ซึ่งจำเป็นต้องพิจารณาสำหรับการศึกษาปรากฏการณ์ใบอัลแลกเปลี่ยนในระบบวัสดุแม่เหล็กสองชั้นเพื่อนำไปสู่การพัฒนาและออกแบบโครงสร้างหัวอ่านข้อมูลฮาร์ดดิสก์ไดร์ฟต่อไปในอนาคตได้อย่างมีประสิทธิภาพ

ເອກສານອ້າງອີງ

1. Tham, K. K., Kushibiki, R., Kamada, T., Hinata, S., & Saito, S. (2018). Ru alloy-oxide buffer layer for intergranular exchange decoupling of CoPt–B₂O₃ granular media. *IEEE Transactions on Magnetics*, 54(2), 1-4.
2. Chen, Y., Song, D., Qiu, J., Kolbo, P., Wang, L., He, Q., Covington, M., Stokes, S. Sapozhnikov, V. G., Dimitrov, D. V., Gao, K., & Miller, B. (2010). 2 Tbit/in² reader design outlook. *IEEE Transactions on Magnetics*, 46(3), 697-701.
3. Chureemart, J., Chureemart, P., Evans, R., Chantrell, R. W., & O'Grady, K. (2011). Magnetic orientation in advanced recording media. *Journal of Physics D: Applied Physics*, 44(45), 455002.
4. Chureemart, J., Lari, L., Nolan, T. P., & O'Grady, K. (2013). The effect of SiO₂ content on activation volumes in exchange coupled composite media. *Journal of Applied Physics*, 114(8), 083907.
5. Barry, J. R., Vasić, B., Khatami, M., Bahrami, M., Nakamura, Y., Okamoto, Y., & Kanai, Y. (2016). Optimization of bit geometry and multi-reader geometry for two-dimensional magnetic recording. *IEEE Transactions on Magnetics*, 52(2), 1-7.
6. Meiklejohn, W. H., & Bean, C. P. (1956). New magnetic anisotropy. *Physical Review*, 102(5), 1413.
7. Kiwi, M. (2001). Exchange bias theory. *Journal of Magnetism and Magnetic Materials*, 234(3), 584-595.
8. O'grady, K., Fernandez-Outon, L. E., & Vallejo-Fernandez, G. (2010). A new paradigm for exchange bias in polycrystalline thin films. *Journal of Magnetism and Magnetic materials*, 322(8), 883-899.
9. Néel, L. (1949). Théorie du Traénage magnétique des ferromagnétiques en grains fins avec application aux terres cuites. *Annales geophysicae*, 5, 99-136.
10. Vallejo-Fernandez, G., Fernandez-Outon, L. E., & O'Grady, K. (2008). Antiferromagnetic grain volume effects in metallic polycrystalline exchange bias systems. *Journal of Physics D: Applied Physics*, 41(11), 112001-115507.
11. Vallejo-Fernandez, G., Deakin, T., O'Grady, K., Oh, S., Leng, Q., & Pakala, M. (2010). Measurement of the antiferromagnet activity in exchange bias systems. *Journal of Applied Physics*, 107(9), 09D709.
12. Vallejo-Fernandez, G., Aley, N. P., Fernandez-Outon, L. E. & O'Grady, K. (2008). Control of the setting process in CoFe/IrMn exchange bias systems. *Journal of Applied Physics*, 104(3), 033906.

13. Choo, D., Chantrell, R. W., Lamberton, R., Johnston, A., & O'Grady, K. (2007). A model of the magnetic properties of coupled ferromagnetic/antiferromagnetic bilayers. *Journal of Applied Physics*, 101(9), 09E521.
14. Craig, B., Lamberton, R., Johnston, A., Nowak, U., Chantrell, R. W., & O'Grady, K. (2008). A model of the temperature dependence of exchange bias in coupled ferromagnetic/antiferromagnetic bilayers. *Journal of Applied Physics*, 103(7), 07C102.
15. Geshev, J., Nicolodi, S., Pereira, L. G., Schmidt, J. E., Skumryev, V., Suriñach, S., & Baró, M. D. (2008). Impact of magnetization easy-axis distributions on the ferromagnet-antiferromagnet exchange-coupling estimation. *Physical Review B*, 77(13), 132407.
16. Hu, Y., Wang, X., Jia, N., Liu, Y., & Du, A. (2015). Effect of misaligned unidirectional and uniaxial anisotropies on angular dependence of exchange bias. *Journal of Magnetism and Magnetic Materials*, 374, 388-393.
17. Fernandez-Outon, L. E., Vallejo-Fernandez, G., Manzoor, S., & O'Grady, K. (2006). Thermal instabilities in exchange biased materials. *Journal of Magnetism and Magnetic Materials*, 303(2), 296-301.
18. Chureemart, P., Chureemart, J., & Chantrell, R. W. (2016). Model of advanced recording media: The angular dependence of the coercivity including the effect of exchange interaction. *Journal of Applied Physics*, 119(6), 063903.
19. Brown, W. F. (1963). Thermal fluctuations of a single-domain particle. *Physical Review*, 130(5), 1677.
20. O'grady, K., & Bradbury, A. (1983). Particle size analysis in ferrofluids. *Journal of Magnetism and Magnetic Materials*, 39(1-2), 91-94.
21. Chureemart, J., Chureemart, P., Pressesky, J., Nolan, T., & O'Grady, K. (2013). Media design and orientation in perpendicular media. *IEEE Transactions on Magnetics*, 49(7), 3592-3595.
22. Aley, N. P., Kroeger, R., Lafferty, B., Agnew, J., Lu, Y., & O'Grady, K. (2009). Tuning of anisotropy in IrMn/CoFe exchange bias systems. *IEEE Transactions on Magnetics*, 45(10), 3869-3872.
23. Barker, J., Craig, B., Lamberton, R., Johnston, A., Chantrell, R. W., & Heinonen, O. (2009). A model of the exchange bias setting process in magnetic read sensors. *Applied Physics Letters*, 95(2), 022504.
24. Saengmart, O., Daeng-am, W., Chureemart, P., & Chureemart, J. (2017). The effect of media design in advanced recording media by the atomistic spin dynamics simulation. *Srinakharinwirot Science Journal*, 33(2), 86-106. (in Thai)
25. Stoner, E. C., & Wohlfarth E. P. (1948). A mechanism of magnetic hysteresis in heterogeneous alloys. *Philosophical Transactions of the Royal Society of London A*, 240, 599–642.

